

ASINHRONĀ ĢENERATORA AR GĀZDĪZEĻA PIEDZIŅU AUTOMĀTISKĀS VADĪBAS SISTĒMAS ANALĪZE ANALYSIS OF AUTOMATIC CONTROL SYSTEM OF AN ASYNCHRONOUS GENERATOR WITH GAS DIESEL DRIVE

A. Šniders, A. Galīņš

LLU Lauksaimniecības enerģētikas institūts
Institute of Agricultural energetics, LLU

Abstract. The paper reports on the design of a structural block diagram of an automatic control system of an asynchronous generator with gas diesel drive. An automatic current control of the AC generator is executed by a feedback $P-I$ pulse regulator with a permanent velocity gas valve driving actuator. The tuning stability of the automatic control system and parameters of $R-C$ feedback circuit are optimised and simulated. Criteria for parameter installing are obtained.

Key words: gas diesel, asynchronous generator, automatic control, system analysis, transfer function, optimization, system stability.

1. Ievads

Lai nodrošinātu asinhronā ģeneratora (AG) ar gāzdīzeļa (GD) piedziņu slodzes strāvas / stabilizāciju, nepieciešams sintezēt automātiskās stabilizācijas sistēmu (ASS), kas kompensētu perturbāciju (gāzes spiediena, elektriskā tīkla sprieguma un elektriskās slodzes izmaiņas) iespaidu uz regulējamā parametra / stabilitāti. Tā kā sistēmā izmantots proporcionāli integrālais ($P-f$) impulsregulators, kura pārejas procesa raksturā līknī var linearizēt mazas amplitūdas pašsvārstību diapazonā (A. Kļujevs, 1989), tad ASS analīzei un optimizācijai izmantota lineāro stacionāro sistēmu teorija, kas bazējas uz Laplasa transformāciju un operatorrēķiniem (H. Kvakernaks, R. Sivans, 1977).

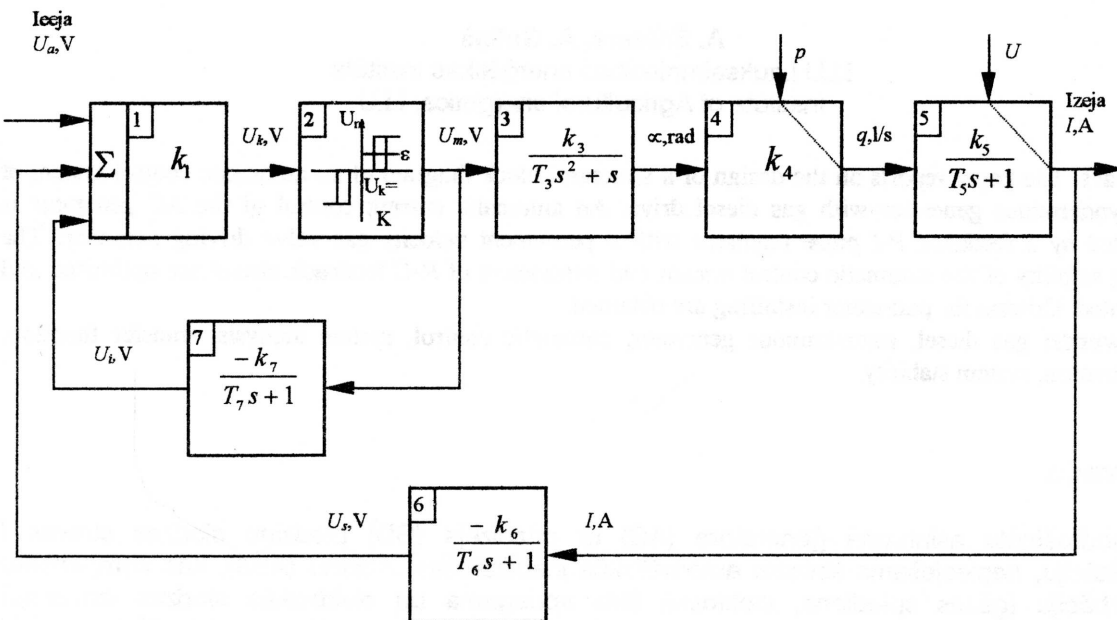
Pētāmā ASS pieskaitāma ātrdarbīgu, mazinerciālu sistēmu grupai, tādēj tās pārejas procesa kvalitātes galvenais kritērijs ir minimāls regulēšanas laiks ar aperiodisku pārejas procesu un vienu pārregulējumu. ASS pārejas procesa modelēšana ar datoru dod iespēju analizēt lielu variantu skaitu, mainot sistēmas funkcionālo posmu parametrus, un optimizēt pārejas procesu (A. Bašarins, J. Postniņovs, 1990; J. Topčejevs, 1989).

2. Pētījumu objekts un metodes

Pētījumu objekts ir slodzes strāvas automātiskās stabilizācijas sistēma (ASS) asinhronam ģeneratoram ar gāzdīzeļa piedziņu. Tās stabilitātes un darbības kvalitātes analīze veikta ar operatormetodi, lietojot Laplasa transformāciju. Šajā nolūkā sastādīta slodzes strāvas ASS algoritmiskā struktūrhēma asinhronam ģeneratoram ar gāzdīzeļa piedziņu (1. att.). Tajā parādīti ASS funkcionālo posmu statiskie un dinamiskie pastiprinājuma koeficienti. Struktūrhēma sastāv no diviem bezinerces posmiem - komparatoria (1) un gāzes ventila (4), kuru jutību raksturo pārvades koeficienti k_1 un k_4 , inerciāla integrējoša posma - elektriska izpildmehānisma (3) ar elektromehānisko laika konstanti T_3 un ātruma koeficientu k_3 , trim aperiodiskiem posmiem (5, 6, 7) un nelineāra posma - trīspozīciju releja (2). Uz izpildierīci - gāzes ventili (4) darbojas

perturbācija p (gāzes spiediena svārstības), kas iespaido vadības objekta - gāzdīzeļa ģeneratora (5) darbību. Tā izejas parametru slodzes strāvu I tieši iespaido elektriskā tīkla sprieguma U un elektriskās slodzes svārstības. Sistēmas stabilitāti nodrošina galvenā negatīvā atgriezeniskā saite (6), kurā slēgts strāvas kontroles bloks ar pārvades koeficientu k_6 un laika konstanti T_6 . Bloka inerci rada tajā ieslēgtais R - C filtrs.

Nepieciešamo sistēmas darbības kvalitāti nodrošina negatīvā inerciālā atgriezeniskā saite (7) ar maināmu pārvades koeficientu k_7 un laika konstanti T_7 . Ar inerciālo atgriezenisko saiti aptvertais sistēmas posms (1, 2, 7) un konstanta ātruma izpildmehānisms (3) formē proporcionāli integrālo impulsregulēšanas likumu.



1. att. Gāzdīzeļa slodzes strāvas automātiskās stabilizācijas sistēmas algoritmiskā struktūrshēma.
Fig. 1. Block-diagram of the current stabilisation system for a gas diesel asynchronous generator.

3. Proporcionāli integrālā impulsregulatora pārvades funkcija

P - I impulsregulatoru veido komparators (1) ar trīspozīciju komutācijas bloku (2), kurus aptver negatīva inerciāla R - C atgriezeniskā saite (7), un konstanta ātruma izpildmehānisms (3).

Vispirms atrod ekvivalento pārvades funkciju sistēmas posmam ar inerciālo atgriezenisko saiti vispāriņgā veidā:

$$W_e(s) = \frac{k_1 k_2}{\frac{k_1 k_2 k_7}{T_7 s + 1} + 1} = \frac{k_1 k_2 (T_7 s + 1)}{(1 + k_1 k_2 k_7) \left(\frac{T_7}{1 + k_1 k_2 k_7} s + 1 \right)},$$

jeb
$$W_e(s) = \frac{k_e (T_7 s + 1)}{T_e s + 1}, \quad (1)$$

kur $k_e = \frac{k_1 k_2}{1 + k_1 k_2 k_7}$ - ekvivalentā posma statiskais pārvades koeficients;

$T_e = \frac{T_7}{1 + k_1 k_2 k_7}$ - ekvivalentā posma laika konstante, s.

Proporcionali integrālā impulsregulatora pārvades funkcija:

$$W_r(s) = W_e(s) \cdot W_3(s) = \frac{k_e k_3 (T_7 s + 1)}{(T_e s + 1)(T_3 s + 1)s} . \quad (2)$$

Tā kā trispozīciju komutācijas bloks (2) ir izteikti nelineārs sistēmas posms, tad tā statiskais pārvades koeficients k_2 mainās atkarībā no ieejas signāla amplitūdas. Līdz ar to regulatora koeficienti k_e un T_e nav konstanti. Lai "iesaldētu" P-I impulsregulatora mainīgos koeficientus, t.i. aizstātu tos ar konstantiem koeficientiem, tā pārejas procesa raksturlikni linearizē (A. Kļujevs, 1989). Šādu linearizētu impulsregulatoru var aprakstīt ar vienkāršotu pārvades funkciju

$$W_r(s) = \frac{k_p (T_7 s + 1)}{T_7 s (T_3 s + 1)}, \quad (3)$$

kas inženierpraksē pietiekami precīzi apraksta pārejas procesu.

Izteiksmē (3) koeficients $k_p = \omega_{nom} T_7 / (U_m k_7)$ ir regulatora proporcionālā posma statiskais pārvades koeficients (rad/V), kur ω_{nom} - izpildmehānisma nominālā rotācijas frekvence, rad/s; U_m - izpildmehānisma nominālais spriegums, V.

Lai saīdzinātu pārvades funkcijas (2) un (3), izteiksmi (3) pārrakstām sekojošā formā:

$$W'_r(s) = \frac{k'_e k_3 (T_7 s + 1)}{s(T_3 s + 1)}, \quad (4)$$

kur $k_3 = \omega_{nom} / U_m$ - izpildmehānisma ātruma koeficients, rad/(s*V);

$k'_e = 1 / k_7$ - vienkāršota ekvivalentā posma statiskais pārvades koeficients.

Analīze parāda, ka izpildās nosacījums:

$$k_1 k_2 k_7 \gg 1 . \quad (5)$$

Tad $k_e \approx k'_e$, bet $T_e \ll T_7$. Tātad, ja ir spēkā nosacījums (5), tad abu algoritmu (2) un (3) statiskā jutība ir aptuveni vienāda, bet pārejas procesa dinamiku galvenokārt nosaka laika konstante T_7 .

Tā kā P-I impulsregulatora pašsvārstības notiek tikai ap tā nevienmēribas zonu ε ar mazu amplitūdu $A \approx \pm \varepsilon / 2$, tad arī koeficienta k_2 izmaiņas nav būtiskas. Tas dod iespēju "iesaldēt" koeficientus k_e un T_e un izmantot regulatora algoritmu (2) sistēmas analīzei.

4. Sistēmas algoritmi un parametri

Lai novērtētu asinhronā ģeneratora slodzes strāvas ASS stabilitāti un darbības kvalitāti, sastādīti sistēmas algoritmi.

Valējas sistēmas pārvades funkcija:

$$W(s) = W_r(s) \cdot W_4(s) \cdot W_5(s) = \frac{k_e k_3 k_4 k_5 (T_7 s + 1)}{(T_e s + 1)(T_3 s^2 + s)(T_5 s + 1)} . \quad (6)$$

Slēgtas sistēmas pārvades funkcija:

$$\phi(s) = \frac{1}{\frac{1}{W(s)} + \frac{k_6}{T_6 s + 1}} = \frac{k_e k_3 k_4 k_5 (T_6 s + 1)(T_7 s + 1)}{(T_e s + 1)(T_3 s^2 + s)(T_5 s + 1)(T_6 s + 1) + k_e k_3 k_4 k_5 k_6 (T_7 s + 1)} . \quad (7)$$

Slēgtās sistēmas operatorvienādojums:

$$\Delta I(s) \left[(T_e s + 1)(T_3 s^2 + s)(T_5 s + 1)(T_6 s + 1) + k_e k_3 k_4 k_5 k_6 (T_7 s + 1) \right] = \\ = \Delta U_a(s) k_e k_3 k_4 k_5 (T_6 s + 1)(T_7 s + 1), \quad (8)$$

kur $\Delta I(s)$ – asinhronā ģeneratora slodzes strāvas izmaiņas attēlfunkcija;

$\Delta U_a(s)$ - sistēmas ieejas sprieguma izmaiņas attēlfunkcija.

Funkcija (7) liecina, ka sistēmas iedarbes operators

$Q(s) = k_e k_3 k_4 k_5 (T_6 s + 1)(T_7 s + 1)$ ir otrs kārtas polinoms, bet sistēmas pašoperators

$D(s) = (T_e s + 1)(T_3 s^2 + s)(T_5 s + 1)(T_6 s + 1) + k_e k_3 k_4 k_5 k_6 (T_7 s + 1)$ ir piektās kārtas polinoms. Tā kā pašoperatora kārtā ir augstāka par iedarbes operatora kārtu, tad izpildās viens no nepieciešamajiem sistēmas stabilitātes nosacījumiem. Taču tas nav pietiekami. Lai kompleksi novērtētu sistēmas stabilitāti, jānosaka sistēmas nulles un polus, kurus var aprēķināt pielīdzinot nullei sistēmas iedarbes operatoru un pašoperatoru, un nosakot iegūto algebrisko vienādojumu saknes: S_{01}, S_{02} - nulles; S_1, S_2, S_3, S_4, S_5 - polus. Lai to realizētu, vispirms noteikti sistēmas posmu statiskie un dinamiskie rādītāji.

1. Komparatora ar nevienmērības zonu statiskais pārvades koeficients $K_r=30$.
2. Trīspozīciju releja nominālais pārvades koeficients izteikts ar nominālā izejas sprieguma attiecību pret releja nostrādes spriegumu $K_2=U_{nom}/U_{kp} \approx 15$.
3. Elektriskā izpildmehānisma ātruma koeficients:
 $k_3=\omega_{nom}/U_{nom} \approx 0.002 \text{ rad/(sV)}$.
Laika konstante $T_3 \approx 0.05 \text{ s}$.
4. Gāzes ventila statisko pārvades koeficientu nosaka kā gāzes plūsmas izmaiņas Δq (litri sekundē) attiecību pret gāzes ventila pagrieziena leņķa izmaiņu $\Delta\alpha(\text{rad})$:
 $k_4=\Delta q/\Delta\alpha=5\text{l}/(\text{s.rad})$.
5. Gāzdīzeļa elektroģeneratora ar jaudu 75 kW statiskais pārvades koeficients izsakāms kā ģeneratora slodzes strāvas izmaiņas ΔI attiecība pret gāzes plūsmas izmaiņu Δq :
 $k_5=\Delta I/\Delta q=60\text{A.s/l}$.
6. Laika konstante, kas raksturo gāzdīzeļa elektroģeneratora inerci, $T_5 \approx 1\text{s}$.
7. Galvenās atgriezeniskās saites pārvades koeficients: $k_6=\Delta U_s/\Delta I=0.1 \text{ V/A}$ un laika konstante $T_6 \approx 0.05 \text{ s}$.
8. Inceriālās atgriezeniskās saites pārvades koeficiente k_7 un laika konstantes T_7 , vērtības izvēlas sistēmas sintēzes procesā, novērtējot tās stabilitāti, ātrdarbību, svārstīgumu un maksimālo pārregulējumu pārejas procesa laikā.

Sistēmas analīze veikta ar datoru, izmantojot lineāro sistēmu analīzes programmu. Lai gan dotā sistēma satur nelineāru posmu, trīspozīciju releju, tai var piemērot lineāro sistēmu analīzes teoriju, jo inceriālā atgriezeniskā saite realizē trīspozīciju releja raksturīknnes impulsveida linearizāciju.

5. Rezultātu analīze

Sistēmas analīzes rezultāti apkopoti 1., 2. tabulās un parādīti 2., 3. attēlu raksturīknēs. Izpētīti 3 varianti pie sekojošiem inceriālās atgriezeniskās saites parametriem:

1) $k_r=0.03$, $T_r=0.35 \text{ s}$; 2) $k_r=0.03$, $T_r=0.7 \text{ s}$; 3) $k_r=0.015$, $T_r=0.7 \text{ s}$.

Sistēmas iedarbes operatorvienādojuma $k_e k_3 k_4 k_5 (T_6 s + 1)(T_7 s + 1)=0$ sakņu (jeb nullu) S_{01} un S_{02} , kā arī sistēmas pašoperatorvienādojuma (jeb raksturīgā vienādojuma) $(T_e s + 1)(T_3 s^2 + s)(T_5 s + 1) + k_e k_3 k_4 k_5 k_6 (T_7 s + 1) = 0$ sakņu (jeb polu) S_1, S_2, S_3, S_4, S_5 vērtības sakopotas 1. tabulā, bet to izvietojums kompleksajā plaknē ($\xi, j\omega$) parādīts 2. attēlā. Kā zināms no automātiskās vadības teorijas, jo tuvāk raksturīgā vienādojuma saknes atrodas kompleksās plaknes kreisajai pusplaknei, jo sistēma ir nestabilāka. Kompleksu sakņu gadījumā sistēmas

1. tabula/Table 1

Slēgtas sistēmas operatorvienādojumu saknes
Roots of operator equations of a closed-loop system

Saknes Roots	Vērtības/Values		
	1. $K_7=0.03$, $T_7=0.35$ s	2. $K_7=0.03$, $T_7=0.7$ s	3. $K_7=0.015$, $T_7=0.7$ s
S_{01}	-2.86	-1.43	-1.43
S_{02}	-20	-20	-20
S_1	$-0.76 + j 1.20$	$-1.26 + j 0.89$	$-2.93 + j 2.62$
S_2	$-0.76 - j 1.20$	$-1.26 - j 0.89$	$-2.93 - j 2.62$
S_3	-15.2	$-24.5 + j 6.16$	$-22.2 + j 5.7$
S_4	-2.49	$-24.5 - j 6.16$	$-22.2 - j 5.7$
S_5	-40.9	-10.2	-1.9

pārejas process ir svārstīgs. Jo tuvāk kompleksās saknes atrodas kreisajai pusplaknei, jo sistēma ir svārstīgāka un lielāks ir tās pārregulējums.

2. tabula/Table 2

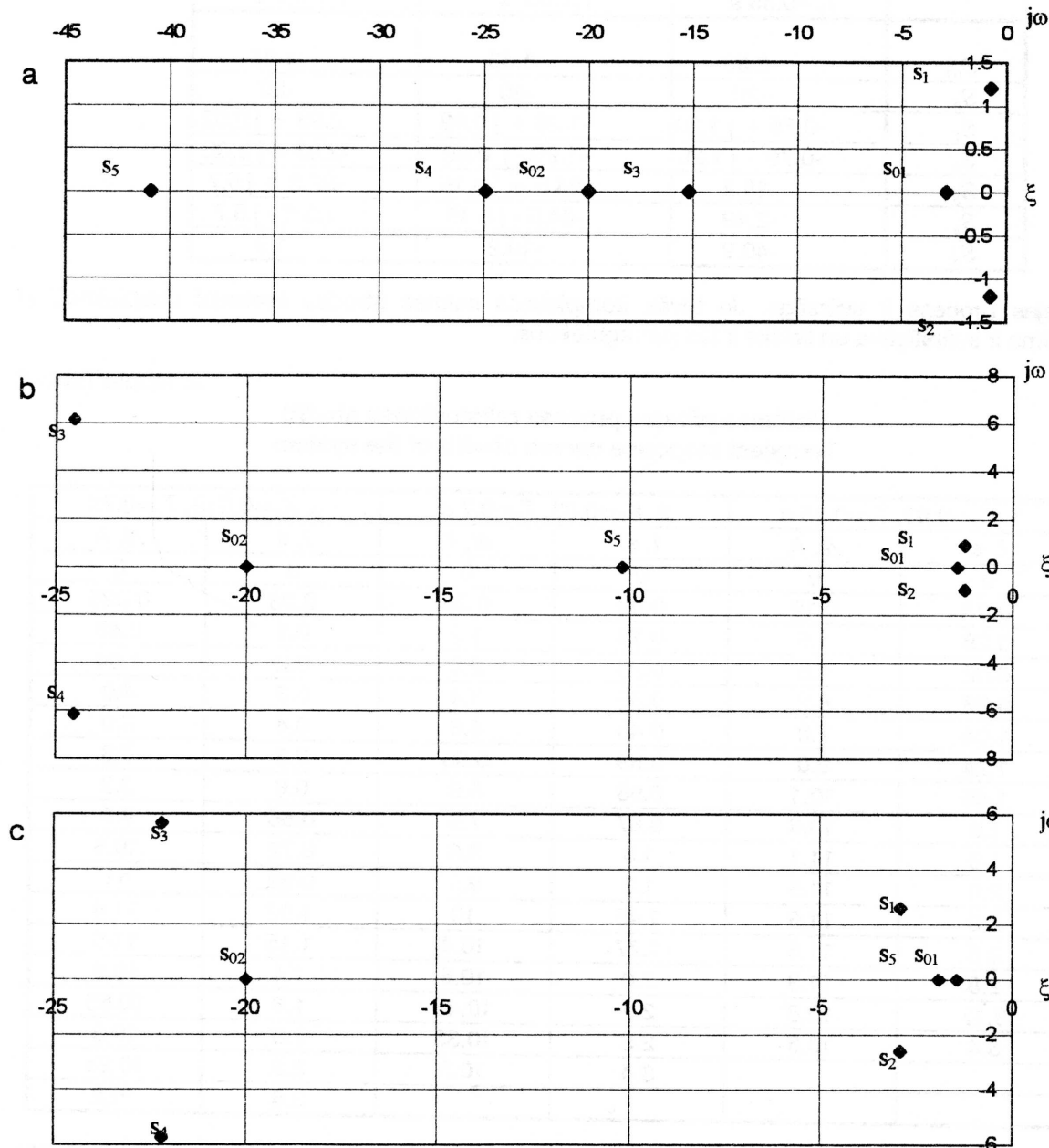
Sistēmas pārejas procesa raksturlīknes $\Delta I=f(t)$
Transient response curves $\Delta I=f(t)$ of the system

1. $K_7=0.03$, $T_7=0.35$ s		2. $K_7=0.03$, $T_7=0.7$ s		3. $K_7=0.015$, $T_7=0.7$ s	
t , s	ΔI , A	t , s	ΔI , A	t , s	ΔI , A
0	0	0	0	0	0
0.07	0.12	0.09	0.29	0.03	0.025
0.28	1.5	0.18	1.2	0.1	0.43
0.62	4.5	0.28	2.3	0.2	1.94
0.83	6.2	0.36	3.4	0.3	4.0
1.04	7.8	0.45	4.6	0.4	6.0
1.24	9.0	0.59	5.83	0.5	7.8
1.45	10.1	0.68	6.6	0.6	9.2
1.6	10.6	0.87	7.6	0.66	9.9
1.8	11.1	1.0	8.6	0.72	10.5
2.0	11.5	1.3	9.6	0.82	11
2.3	11.6	1.45	10	1.02	11.4
2.5	11.5	1.77	10.4	1.15	11.3
2.8	11.3	2.0	10.5	1.4	10.9
3.17	10.8	2.2	10.45	1.6	10.53
3.4	10.5	2.5	10.35	2.0	10.3
		3.4	10.3	2.6	10.25
				3.4	10.2

Sistēmas nulles S_{01} , S_{02} negatīvi iespaido pārejas procesu, jo palielinā sistēmas pārregulējumu. Palielinot laika konstanti T_7 no 0.35 s līdz 0.7 s, sistēmas minimālā nulle S_{01} samazinās divas reizes. Tā rezultātā sistēmas maksimālais pārregulējums samazinās no $\sigma_1=16\%$ līdz $\sigma_2=5\%$ (3. att.). Vienlaicīgi palielinās sistēmas stabilitātes rezerve, jo raksturīgā vienādojuma kompleksā sakņu S_1 , S_2 reālās daļas $\xi_1=\xi_2$ attālinās no sistēmas stabilitātes robežas. $|\xi_{1,2}|$ palielinās no 0.76 līdz 1.26.

Pētījumi parāda, ka inerciālās atgriezeniskās saites laika konstante T_7 jāsaskaņo ar dīzelģeneratora laika konstanti T_5 un jaizvēlas robežas $T_7=(0.6\dots 1)T_5$. Lai iegūtu aperiodisku

pārejas procesu ar mazu pārregulējumu $\sigma \leq 10\%$, laika konstante T_7 jāizvēlas robežās $T_7 = (0.6...0.7)T_5$. Izvēloties $T_7 \approx T_5$ iegūst pārejas procesu ar minimālu integrālā kvadratiskā kvalitātes kritērija vērtību $I_{\min} = \int_0^{\infty} \Delta I(t)^2 dt$, kur $\Delta I(t)$ - asinhronā ģeneratora strāvas novirze attiecībā pret uzdoto vērtību.

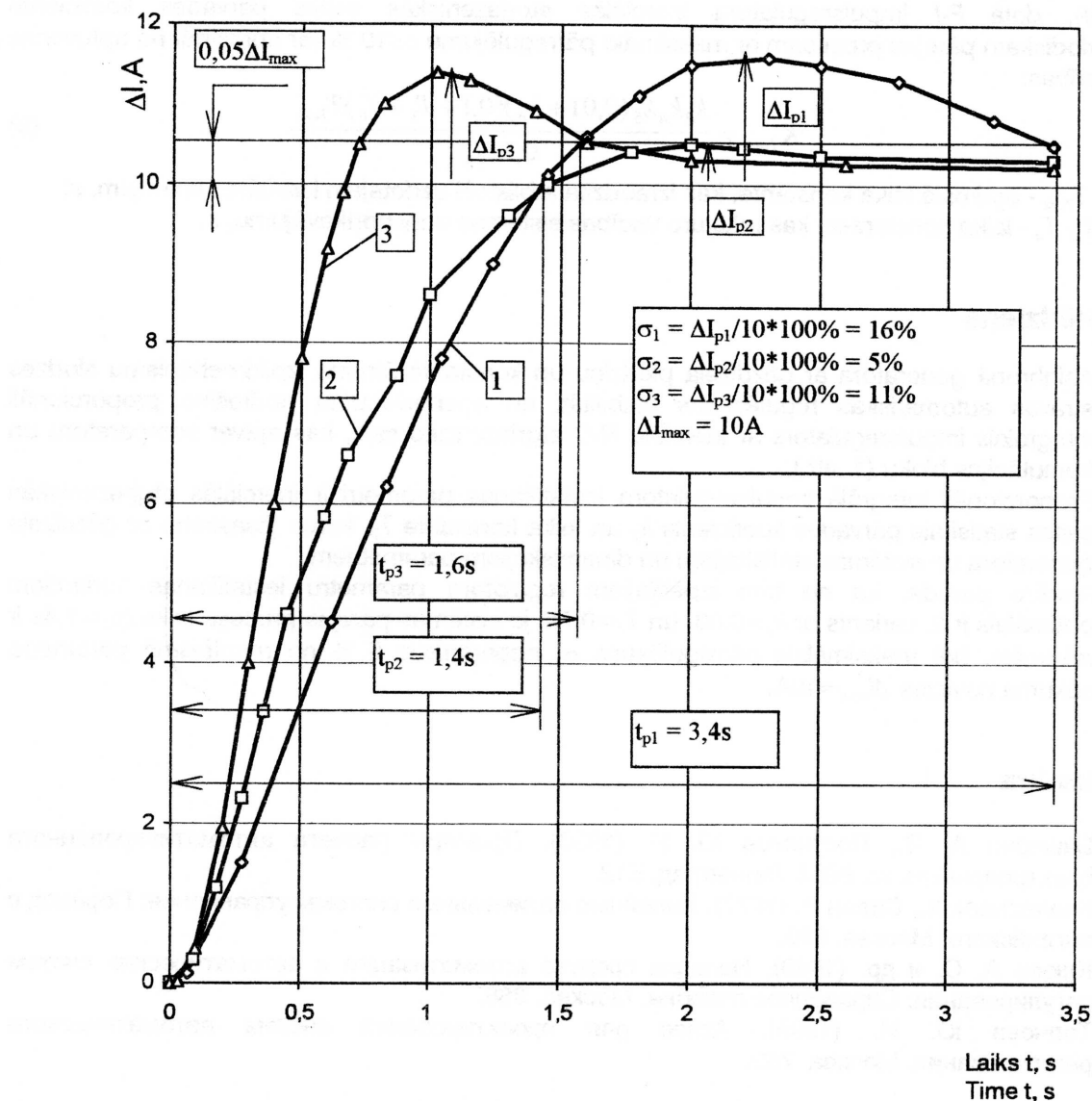


2. att. Sistēmas nūļu (S_{01}, S_{02}) un polu (S_1, S_2, S_3, S_4, S_5) izvietojums kompleksajā plaknē:

Fig. 2. Location of the system's zeroes (S_{01}, S_{02}) and poles (S_1, S_2, S_3, S_4, S_5) on the complex plane:

- a - $K_7=0.03; T_7=0.35 \text{ s}; S_{01}=-2.86; S_{02}=-20; S_{1,2}=-0.76 \pm j1.20; S_3=-15.2; S_4=-25; S_5=-41;$
- b - $K_7=0.03; T_7=0.7 \text{ s}; S_{01}=-1.43; S_{02}=-20; S_{1,2}=-1.26 \pm j1.20; S_{3,4}=-24.5; S_5=-10.2;$
- c - $K_7=0.015; T_7=0.7 \text{ s}; S_{01}=-1.43; S_{02}=-20; S_{1,2}=-2.9 \pm j1.20; S_{3,4}=-22 \pm j5.6; S_5=-1.9.$

Ja $T_s=0.7$ s ($T_s=1$ s) un $k_r=0.03$, tad ģeneratora strāvas izlāgojuma ΔI regulēšanas jeb pārejas procesa laiks pieaug 2.5 reizes, pie tam maksimālais pārregulējums sasniedz 16 % no maksimālās novirzes $\Delta I=10$ A (3. att.).



3. att. Sistēmas pārejas procesa raksturliknes $\Delta I = f(t)$:

Fig. 3. Transient response curves $\Delta I = f(t)$ of the system:

1 - $K_r = 0.03; T_s = 0.35$ s;

2 - $K_r = 0.03; T_s = 0.7$ s;

3 - $K_r = 0.015; T_s = 0.7$ s;

$\Delta I_{p1}, \Delta I_{p2}, \Delta I_{p3}$ - absolūtais maksimālais pārregulējums / absolute maximum overshoot;

$\sigma_1, \sigma_2, \sigma_3$ - relatīvais maksimālais pārregulējums, % / relative maximum overshoot;

t_{p1}, t_{p2}, t_{p3} - pārejas procesa laiki, s / transient response time, s.

Trešajā variantā, atstājot laika konstanti $T_s=0.7$ s, tika samazināts pārvades koeficients no $k_r=0.03$ līdz $k_r=0.015$. Tā rezultātā, atbilstoši izteiksmei (1), palielinājās laika konstante T_s un pārvades koeficients k_e . Sakarā ar T_s palielināšanos izpildmehānisms ilgāku laiku darbojas ar maksimālo ātrumu, līdz ar to paātrinās regulēšanas process salīdzinājumā ar 2. variantu, taču vienlaicīgi pieaug arī sistēmas svārstīgums, jo palielinās tās kopējais pastiprinājuma koeficients

(3. att.). Pārvades koeficienta izvēli nosaka sistēmas kopējā pastiprinājuma koeficienta ierobežojums attiecībā uz sistēmas svārstīgumu.

Nemot par pamatu P/I standartregulatora pārvades koeficienta iestatīšanas kritērijus (A. Kļujevs, 1989), dotā P/I impulsregulatora inerciālās atgriezeniskās saites pārvades koeficientu aperiodiskam pārejas procesam ar maksimālo pārregulējumu $\sigma \leq 10\%$ var aprēķināt no aptuvenas sakarības:

$$K_{T_{opt}} = \frac{k_3 k_4 k_5 (0,01 + k_6) (0,1 + T_3 + T_6) T_{opt}}{0,32 T_5}, \quad (9)$$

kur T_{opt} - optimālā laika konstante, kas izraudzīta atbilstoši uzdotajam kvalitātes kritērijam, s;
 T_3, T_6 - laika konstantes, kas raksturo vadības sistēmas transportkavējumu, s.

5. Slēdziens

1. Asinhronā ģeneratora ar gāzdīzeļa piedziņu un konstanta ātruma izpildmehānismu slodzes strāvas automātiskās regulēšanas stabilitāti un aperiodiskumu nodrošina proporcionāli integrālais impulsregulatoris ar inerciālu $R-C$ atgriezenisko saiti, kas aptver komparatoru un komutācijas bloku (1. att.).
2. Proporcionāli integrālā impulsregulatora iestatīšanas parametri ir inerciālās atgriezeniskās saites statiskais pārvades koeficients k_7 un laika konstante T_7 , kurus jāsaskaņo ar gāzdīzeļa ģeneratora un sistēmas statiskajiem un dinamiskajiem parametriem.
3. Analīze parāda, ka no trim izpētītajiem regulatora parametru iestatīšanas variantiem optimālais ir 2. variants ar $k_7=0.03$ un $T_7=0.7\text{s}$, jo sistēmas pārejas procesa laiks $t_{p2}=1.4\text{s}$ ir minimāls, bet maksimālais pārregulējums σ_2 nepārsniedz 5 % no regulējamā parametra sākuma novirzes $\Delta I_{max}=10\text{A}$.

Literatūra

1. Башарин А. В., Постников Ю. В. (1990). Примеры расчета автоматизированного электропривода на ЭВМ. Ленинград. 512.
2. Квакернаак Х., Сиван Р. (1977). Линейные оптимальные системы управления: Перевод с английского. Москва. 650.
3. Клюев А. С. и др. (1989). Наладка средств автоматизации и автоматических систем регулирования: Справочное пособие. Москва. 368.
4. Топчеев Ю. И. (1989). Атлас для проектирования систем автоматического регулирования. Москва. 752.